

УДК 621.315.592

## СПЕКТРОСКОПИЯ ГОРЯЧЕЙ ФОТОЛЮМИНЕСЦЕНЦИИ В ПОЛУПРОВОДНИКАХ

### Обзор

Алексеев М. А., Карлик И. Я., Мирлин Д. Н., Сапега В. Ф.

Рассмотрены спектральные и поляризационные характеристики рекомбинационной люминесценции горячих электронов в соединениях AlPbV, главным образом в GaAs и InP. Дан краткий обзор результатов, полученных методами спектроскопии горячей фотолюминесценции в различных направлениях физики полупроводников, включая процессы релаксации (внутри- и междолинные переходы), структуру зон и примесных центров.

Еще сравнительно недавно считалось, что «исследования люминесценции в полупроводниках дают значительно более скучную информацию, чем исследования поглощения и отражения, поскольку излучательные переходы происходят между узкой полосой состояний, содержащих термализованные электроны, и узкой полосой состояний, содержащих термализованные дырки, и, следовательно, создают узкий спектр» [1]. Это утверждение в настоящее время устарело. Развитие исследований фотолюминесценции горячих электронов привело к тому, что спектроскопия горячей фотолюминесценции становится эффективным методом решения широкого круга задач физики полупроводников, включая вопросы кинетики сверхбыстрых процессов релаксации фемтосекундного диапазона, зонной структуры и структуры примесных центров. Данная работа представляет собой краткий обзор результатов, полученных в перечисленных выше направлениях.

Основное внимание в ней будет уделено исследованиям, проведенным позднее 1981 г. и не вошедшим в обзоры [2-4]. Результаты первого этапа работ (до 1981 г.) приводятся в той степени, в какой они необходимы для понимания физической картины явлений и полноты освещения рассматриваемых вопросов.

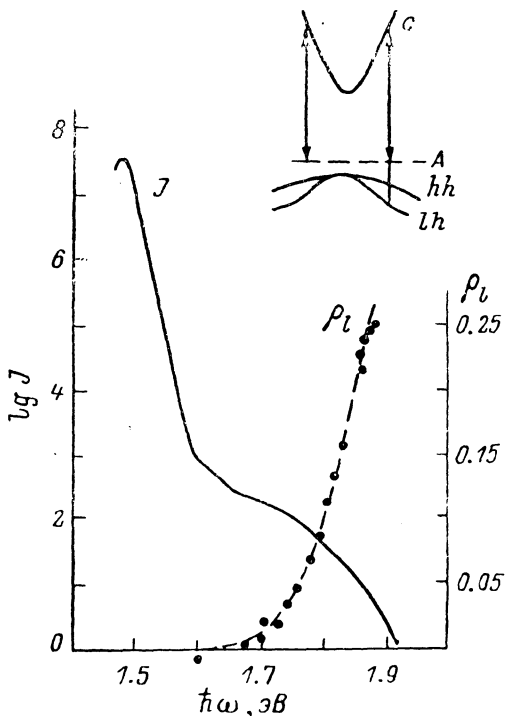
### 1. Спектр горячей фотолюминесценции

При поглощении фотона с энергией  $\hbar\omega_{ex}$  избыточную энергию  $\hbar\omega_{ex} - E_g$  получают фотовозбужденный электрон и дырка. Эта энергия делится между ними обратно пропорционально их эффективным массам. Обычно при рождении пары электрон—тяжелая дырка почти всю энергию получает электрон, а в процессе, в котором рождаются электрон и легкая дырка, энергия между ними распределется примерно поровну. При возбуждении высоко в зону носители заряда быстро теряют избыточные энергию и импульс, так что большинство из них успевает термализоваться за время жизни. Однако малая часть фотовозбужденных носителей рекомбинирует еще в ходе энергетической релаксации, соответствующее излучение проявляется в виде слабого высокочастотного хвоста краевой люминесценции (рис. 1). Именно эту составляющую спектра излучения мы и называем горячей фотолюминесценцией (ГФЛ). Отметим, что функция распределения фотовозбужденных носителей заряда имеет немаксвелловский вид (она вообще не характеризуется температурой), а горячими они являются в том смысле, что их кинетическая энергия намного превышает температуру решетки.

Спектр ГФЛ дает как бы временную развертку процесса релаксации фотовозбужденных носителей. И хотя эксперимент ставится в условиях постоянной накачки, далее мы увидим, что обширная информация о кинетике сверхбыстрых процессов релаксации может быть извлечена из поляризационных характеристик ГФЛ.

В настоящем разделе будут рассмотрены спектры горячей фотолюминесценции при различных уровнях легирования и разных энергиях кванта возбуждающего света. Описанные в обзоре эксперименты выполнялись обычно на кристаллах *p*-типа, так что горячие электроны рекомбинировали с равновесными дырками, локализованными на акцепторных уровнях.

На рис. 1, где приведен спектр рекомбинационной фотолюминесценции, типичный для *p*-GaAs с концентрацией акцепторов  $N_A \approx 10^{18} \text{ см}^{-3}$ , область ГФЛ занимает интервал от 1.6 эВ почти до линии возбуждения  $\hbar\omega_{ex} = 1.96 \text{ эВ}$ .



Интенсивность возбуждения в этом эксперименте была не слишком велика ( $\sim 10^2 \text{ Вт/см}^2$ ), так что ГФЛ обусловлена рекомбинацией электронов с равновесными дырками и линейно зависела от интенсивности возбуждения. Как видно, интенсивность ГФЛ даже в наиболее плавкочастотной части, примыкающей к краевой полосе, на много порядков меньше интенсивности в максимуме краевой полосы, что естественно было ожидать ввиду сравнительно малого времени жизни электрона в «горячем» состоянии. Методика этих

Рис. 1. Спектр и степень линейной поляризации  $\rho_l$  горячей фотолюминесценции *p*-GaAs : Zn.

$N_A = 1.2 \cdot 10^{18} \text{ см}^{-3}$ ,  $T = 2 \text{ К}$ ,  $\hbar\omega_{ex} = 1.96 \text{ эВ}$ . Схема переходов в верхнем правом углу: *hh* и *lh* — подзоны тяжелых и легких дырок, *c* — зона проводимости. Рекомбинация на уровне акцепторов (*A*).

измерений сходна с методикой исследования комбинационного рассеяния в непрозрачных кристаллах в геометрии обратного рассеяния.

В более чистых кристаллах ( $N_A < 3 \cdot 10^{17} \text{ см}^{-3}$  в GaAs,  $5 \cdot 10^{17} \text{ см}^{-3}$  в InP) при температурах ниже 30 К в спектре ГФЛ появляются осцилляции, обусловленные последовательным испусканием длинноволновых *LO*-фононов горячими электронами и отражающие дискретный характер их функции распределения.

На рис. 2 приведены высокочастотные участки таких спектров для трех линий возбуждения. Первый высокочастотный максимум 0 (бесфоновый пик) в каждом из трех спектров обусловлен рекомбинацией на уровень акцептора электронов, возбужденных из зоны тяжелых дырок и не испытавших энергетической релаксации. Второй и третий максимумы (1, 2) соответствуют рекомбинации электронов, испустивших последовательно один и два оптических фонона (схема переходов представлена на вставке к рис. 2). Приведенные на рис. 2 спектры привязаны по частоте к возбуждающей линии, как это обычно имеет место и в спектроскопии комбинационного рассеяния света. Так, сдвиг  $\hbar\omega_{ex}$  от 1.96 до 1.83, а затем до 1.65 эВ сдвигает соответственно всю систему осцилляций.

Иная ситуация реализуется, когда энергия возбуждения лежит выше 2.4 эВ, т. е. когда электроны в зоне проводимости рождаются со значительно большей

энергии [6]. В этом случае интенсивность ГФЛ вблизи линии возбуждения очень слаба (результаты исследований этого участка спектра будут обсуждаться далее); в то же время наблюдается значительно более сильная люминесценция с высокочастотным порогом около 1.8 эВ, спектр которой не зависит от энергии кванта возбуждающего света.

В умеренно легированных кристаллах в таких спектрах хорошо проявляется фононная структура. Интерпретация спектров ГФЛ при возбуждении квантами большой энергии, предложенная в [6, 7] и недавно подтвержденная в [8], состоит в следующем. При возбуждении выше дна нижайшей боковой ( $L$ ) долины электроны наряду с внутридолинным испытывают и междолинное рассеяние. Ввиду большей, чем в Г-долине, массы плотности состояний большая часть электронов за несколько актов рассеяния переходит в боковые долины и возвращается в Г-минимум, достигнув их дна. При этом испускается «междо-

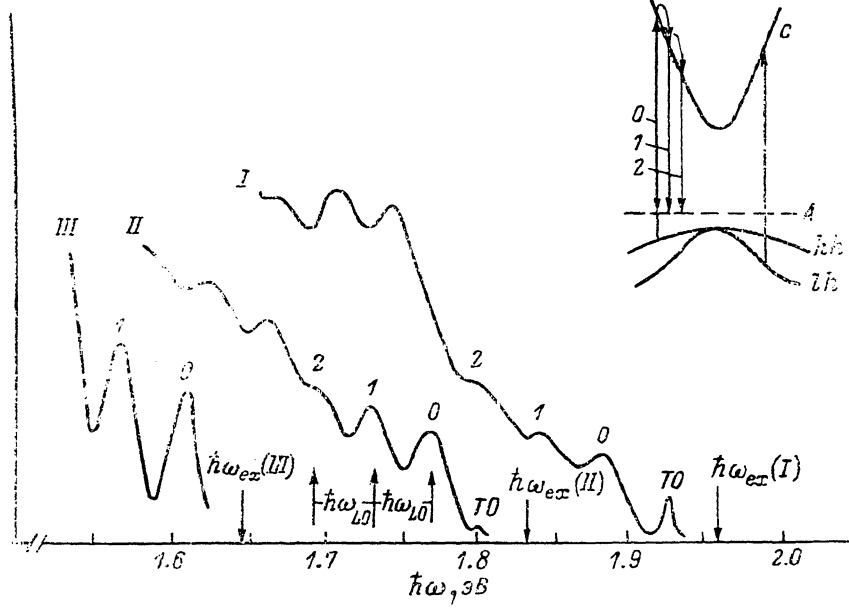


Рис. 2. Спектры горячей фотолюминесценции  $p$ -GaAs : Zn ( $N_A = 10^{17} \text{ см}^{-3}$ ) при трех линиях возбуждения.

$I = 1.96$ ,  $II = 1.83$ ,  $III = 1.65$  эВ [5]. Схема переходов — на вставке.

лининый» ( $LO$  или  $LA$ ) фонон. Точка прихода электронов из  $L$ -долины и соответствует порог низкочастотного участка спектра ГФЛ. Поскольку энергии междолинных фононов известны, эта особенность спектра позволяет с хорошей точностью определить положение дна боковых долин (см. раздел 4, [6-10]).

Спектр люминесценции непосредственно связан с функцией распределения  $f(\varepsilon)$ . В случае рекомбинации на акцептор интенсивность ГФЛ определяется формулой

$$J = Af(\varepsilon)g(\varepsilon)\Phi(\varepsilon), \quad (1)$$

где  $\varepsilon$  — энергия рекомбинирующих электронов,  $\varepsilon = \hbar\omega - E_A + E_A$ ,  $\hbar\omega$  — энергия кванта люминесценции,  $E_A$  — энергия связи дырки на акцепторе,  $g(\varepsilon)$  — плотность состояний в зоне проводимости,  $A$  — коэффициент, слабо зависящий от частоты, а функция  $\Phi(\varepsilon)$  характеризует распределение дырок по импульсам на акцепторе. Численный расчет функции  $\Phi(\varepsilon)$  показывает, что в GaAs в области энергий  $\varepsilon \gg E_A$  она хорошо аппроксимируется формулой для водородоподобного центра

$$\Phi(\varepsilon) = \left(1 + \frac{\varepsilon}{E_A} \frac{m_e}{m_A}\right)^{-1} \quad (2)$$

при  $m_A = 0.66 m_0$  и  $E_A = 31$  мэВ (Zn) [11].

На рис. 3 приведено энергетическое распределение  $n(\epsilon) = f(\epsilon)g(\epsilon)$  для электронов, инжектированных в Г-минимум из L-долины, полученное из спектров ГФЛ с учетом (1), (2) и поправок на самопоглощение. Осцилляции в ходе  $n(\epsilon)$  обусловлены последовательным испусканием LO-фононов в ходе энергетической релаксации. Высокочастотный порог в  $n(\epsilon)$  отвечает наличию источника электронов — боковой долины. Видно, что в интервале 100—300 мэВ среднее значение  $n(\epsilon)$  слабо зависит от энергии, что соответствует слабой энергетической зависимости времени излучения оптического фона  $\tau_{po}(\epsilon)$ . При  $\epsilon < 37$  мэВ испускание оптических фононов становится невозможным и соответственно  $n(\epsilon)$  резко возрастает.

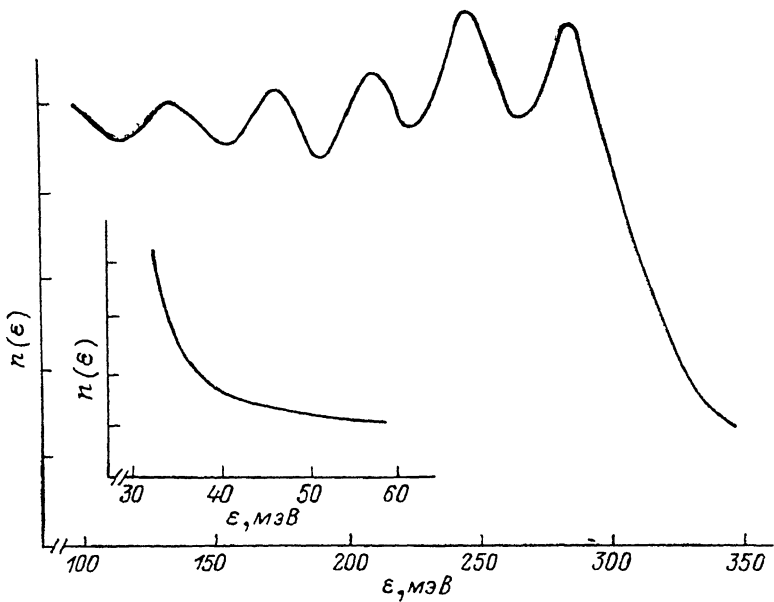


Рис. 3. Функция распределения горячих электронов, полученная из обработки спектра ГФЛ при  $\hbar\omega_{ex}=2.54$  эВ.  
p-GaAs : Zn,  $N_A = 8 \cdot 10^{16}$  см<sup>-3</sup>,  $T = 2$  К.

## 2. Поляризация горячей фотолюминесценции

Необычными являются поляризационные характеристики горячей фотoluminesценции. Так, в отсутствие электрического поля и деформации ГФЛ материалов, принадлежащих кубической группе симметрии, оказывается линейно поляризованной. Величина степени линейной поляризации  $\rho$ , максимальна на высокочастотном краю спектра ГФЛ и спадает по мере энергетической релаксации (рис. 1). Было показано, что появление линейной поляризации обусловлено анизотропией функции распределения электронов по импульсам при межзонном поглощении света [12]. Это явление получило название оптического выстраивания электронов по импульсам (скоростям). Причиной анизотропии распределения импульсов горячих электронов является жесткая связь между моментом и импульсом в валентной зоне алмазоподобных полупроводников. Как известно, валентная зона таких кристаллов состоит из двух подзон (легких и тяжелых дырок) с общей вершиной в центре зоны Бриллюэна. Кроме различия в массах, легкие и тяжелые дырки различаются также значениями проекции углового момента ( $J=3/2$ ) на направление квазимпульса  $p$ . Проекция момента тяжелой дырки на  $p$  принимает значение  $\pm 3/2$ , а проекция момента легкой дырки  $\pm 1/2$ .

Из правил отбора следует, что дипольный момент прямого оптического пере-

<sup>1</sup> Теоретические результаты, приведенные в этом разделе, справедливы в сферическом приближении, т. е. не учитывают гофрировки валентной зоны. Эффекты, связанные с гофрировкой, не малы и будут обсуждаться в разделе 4.

хода между состояниями подзоны тяжелых дырок ( $hh$ ) и зоны проводимости (с) не имеет компоненты вдоль  $p$  ( $d_{hh,c} \cdot p = 0$ ), а для переходов из подзоны легких дырок, наоборот, эта проекция дипольного момента максимальна. Таким образом, при фотовозбуждении электронов из подзоны тяжелых дырок импульсы рождающихся носителей лежат в основном в плоскости, перпендикулярной направлению поляризации возбуждающего света. Функция распределения таких электронов по импульсам в момент рождения

$$F(p) \sim \sin^2 \vartheta, \quad (3)$$

где  $\vartheta$  — угол между  $p$  и  $e_{ex}$ ,  $e_{ex}$  — вектор поляризации возбуждающего света. Из (3) следует, что при возбуждении из подзоны тяжелых дырок ( $hh$ —с) электроны с  $p \parallel e_{ex}$  не рождаются вовсе. Вид  $F(p)$  в точке рождения для этого канала возбуждения представлен на рис. 4 (случай  $\omega_c \tau_0 = 0$ ). Пространственная картина выстраивания получается путем вращения приведенного контура вокруг  $e_{ex}$ .

Рассмотрение переходов в зону проводимости из подзоны легких дырок  $lh$ —с показывает, что в этом случае импульсы рождающихся носителей направлены преимущественно

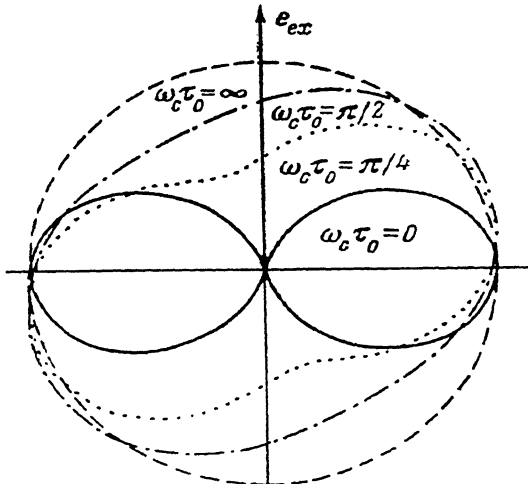


Рис. 4. Эволюция функции распределения  $F(p)$  горячих электронов, возбужденных из зоны тяжелых дырок, в магнитном поле.

Линейно поляризованное возбуждение (вектор поляризации  $e_{ex}$ ),  $\omega_c$  — циклотронная частота,  $\tau_0$  — время жизни электрона в точке рождения. Приложение магнитного поля приводит к повороту и изотропизации  $F(p)$ . Геометрия Фарадея (Вдоль луча). Расчет по формуле (3) из [5].

ственно параллельно  $e_{ex}$ . Для обоих каналов возбуждения функция распределения электронов по направлениям импульса в момент рождения может быть представлена в виде

$$F(p) = F_0(\varepsilon_0) [1 + \alpha_0 P_2(\cos \vartheta)], \quad (4)$$

где  $F_0(\varepsilon_0)$  — симметричная часть функции распределения,  $\varepsilon_0$  — энергия электронов в момент рождения,  $P_2(\cos \vartheta)$  — второй полином Лежандра [ $P_2(x) = 1/2(3\cos^2 x - 1)$ ]. Параметр  $\alpha_0 = -1$  для возбуждения  $hh$ —с [что приводит к (3)] и  $\alpha_0 = 1$  для переходов  $lh$ —с.

Явление, описываемое формулами (3), (4), и получило название оптического выстраивания электронов по импульсам.<sup>2</sup>

Покажем теперь, как возникает линейная поляризация ГФЛ. Как известно, межзонные переходы с поглощением и излучением фотона описываются идентичными правилами отбора, так что вероятность рекомбинации электрона и тяжелой дырки с испусканием кванта, поляризованного по орту  $e'$ , будет задаваться выражением, аналогичным (3),

$$W(p, e') \sim \sin^2 \vartheta', \quad (5)$$

где  $\vartheta'$  — угол между  $p$  и  $e'$ . Эта формула показывает, что излучение, возникающее при рекомбинации электрона и тяжелой дырки, поляризовано в основном перпендикулярно импульсу.

<sup>2</sup> В соответствии с терминологией, принятой в атомной физике, такой тип анизотропии, связанный с выделенной осью (в данном случае  $e_{ex}$ ), называется выстраиванием (в отличие от анизотропии, связанной с существованием выделенного направления, которая называется ориентацией).

Интенсивность люминесценции поляризации  $e'$  определяется интегралом по всем направлениям импульса  $p$  от произведения функций распределения электронов  $F(p)$ , дырок  $\Phi(-p)$  и вероятности (5)

$$I_{e'} = \int F(p) \Phi(-p) W(p, e') d\Omega. \quad (6)$$

Обсудим прежде всего начальную, соответствующую рекомбинации из точки  $e_0$  линейную поляризацию ГФЛ. В случае высоких температур в кристаллах  $p$ -типа фотовозбужденные электроны с  $e=e_0$  рекомбинируют с равновесными тяжелыми дырками. При низких температурах, когда дырки локализованы на акцепторах,  $\Phi(p)$  в (6) имеет смысл функции распределения дырок по импульсам на акцепторе, т. е. квадрата волновой функции дырки на акцепторе в импульсном представлении. При не очень малых квазимпульсах состояние дырок на акцепторе сформировано в основном из волновых функций  $hh$ -подзоны, так что вероятность перехода  $W(p, e')$  в обоих случаях одинакова. Подставляя (3), (5) в (6) и полагая, что  $\Phi(p)$  изотропна, можно вычислить зависимость интенсивности излучения от угла между  $e_{ex}$  и  $e'$  и степень поляризации:

$$\rho_I = \frac{I_{\parallel} - I_{\perp}}{I_{\parallel} + I_{\perp}}, \quad (7)$$

где  $I_{\parallel}$  и  $I_{\perp}$  — интенсивности люминесценции, поляризованной так же, как возбуждающий свет ( $e' \parallel e_{ex}$ ), и перпендикулярно  $e' \perp e_{ex}$ . В результате получаем в сферическом приближении начальное значение  $\rho_I^0 = 1/7$ . При ориентации образца  $(111)$ , когда луч возбуждающего света направлен по  $[111]$ , а люминесценция наблюдается в геометрии «назад», т. е. вдоль  $[111]$ , экспериментальные значения  $\rho_I^0$  близки к расчетному. В общем случае кубическая (а не сферическая) симметрия кристалла приводит к тому, что все три сомножителя в (6) зависят от ориентации  $e_{ex}$  относительно кристаллографических осей. Поэтому и  $\rho_I$  оказывается зависящей от ориентации  $e_{ex}$  относительно осей кристалла. Этот эффект, как мы увидим, может быть использован для определения степени гофрированности валентной зоны.

В ходе энергетической релаксации в результате столкновений электронов происходит изотропизация их функции распределения. При возбуждении линейно поляризованным светом электроны, имевшие в момент рождения распределение (4), спустившись до энергии  $\varepsilon$ , будут описываться распределением

$$F(p) = F_0(\varepsilon) [1 + \alpha(\varepsilon) P_2(\cos \vartheta)]. \quad (8)$$

Эта функция характеризуется параметром анизотропии  $\alpha(\varepsilon)$  ( $|\alpha| \leq 1$ ), энергетическая зависимость которого определяется уравнением

$$\frac{d\alpha}{d\varepsilon} = \frac{\tau_e}{\tau_{p2}} \frac{\alpha}{\varepsilon}, \quad (9)$$

где  $\tau_e$  — время энергетической релаксации,  $\tau_{p2}$  — время релаксации анизотропии импульсного распределения, которое легко может быть связано с обычным временем релаксации импульса  $\tau_p$ . Таким образом, из зависимости  $\alpha(\varepsilon)$  непосредственно определяется отношение  $\tau_e/\tau_p$ .

Уникальную возможность исследования зависимости  $\alpha(\varepsilon)$  дает измерение спектрального распределения линейной поляризации ГФЛ. Используя правила отбора для межзонных переходов, можно показать <sup>[12]</sup>, что

$$\rho_I(\hbar\omega) = \frac{3\alpha(\varepsilon)\alpha_0}{20 + \alpha(\varepsilon)\alpha_0}, \quad (10)$$

где  $\hbar\omega$  — энергия испускаемого фотона, однозначно связанныя с энергией электрона  $\varepsilon$ . Так, из спектральной зависимости  $\rho_I(\hbar\omega)$  на рис. 1 следует  $\tau_e/\tau_{p2}=3.5$ .

Определение  $\tau_e$  по магнитной деполяризации ГФЛ позволяет, таким образом, вместе с определением  $\tau_e/\tau_{p2}$  определить  $\tau_e$  и  $\tau_{p2}$  порознь.

<sup>3</sup> Для малоуглового рассеяния на кулоновском потенциале дырок или примесей  $\tau_p/\tau_{p2}=3$ .

### 3. Деполяризация горячей фотолюминесценции в магнитном поле.

#### Определение времен релаксации

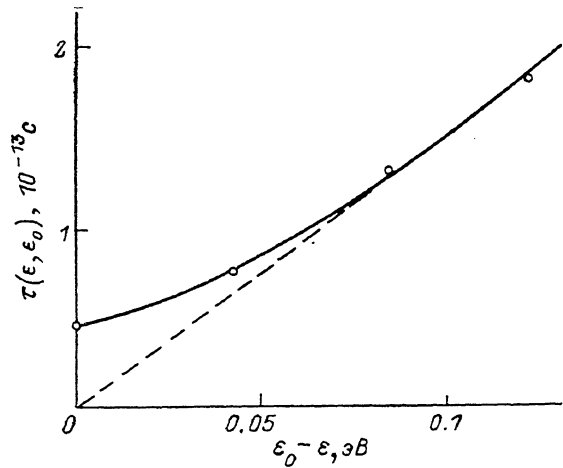
В этом разделе мы опишем результаты влияния магнитного поля на линейную поляризацию ГФЛ. Это влияние обусловлено действием силы Лоренца, которая поворачивает импульсы фотовозбужденных электронов и тем самым изменяет величину и направление оси анизотропии их функции распределения. Наиболее простой случай, когда магнитное поле  $B$  направлено вдоль луча света (геометрия Фарадея). При этом ось симметрии распределения, направленная в момент возбуждения вдоль  $e_{ex}$ , поворачивается вокруг  $B$ , все время оставаясь перпендикулярной ему. Угловая частота этого вращения есть циклотронная частота  $\omega_c = eB/m_e c$ . На рис. 4 приведен вид углового распределения электронов, рассчитанный в точке рождения  $\varepsilon_0$  в различных магнитных полях. По мере увеличения  $B$  происходит поворот и изотропизация распределения. Соответственно уменьшается степень линейной поляризации. Из экспериментальных зависимостей в соответствии с соотношением

$$\rho_l(B) = \rho_l(0)/(1 + 4\omega_c^2\varepsilon_0^2), \quad (11)$$

которое хорошо выполняется на опыте, определяется  $\tau_0$  — время жизни электрона по отношению

Рис. 5. Типичная зависимость времени спуска  $\tau(\varepsilon, \varepsilon_0)$  от энергии рекомбинирующего электрона.

Наклон прямолинейного участка кривой определяет время энергетической релаксации  $\tau_p$ . В данном случае  $\tau_p = 4 \cdot 10^{-15}$  с (при  $\varepsilon_0 = 0.3$  эВ),  $\hbar\omega_{ex} = 1.96$  эВ ( $\varepsilon_0 = 0.38$  эВ). При  $\varepsilon \rightarrow \varepsilon_0$   $\tau(\varepsilon, \varepsilon_0) \rightarrow 5 \cdot 10^{-14}$  с и имеет смысл времени выхода из начального состояния. Образец тот же, что и на рис. 1.



ко всем процессам, выводящим его из состояния с энергией  $\varepsilon_0$ .<sup>4</sup> Аналогичные измерения при энергиях кванта рекомбинационного излучения, соответствующего меньшим энергиям электронов  $\varepsilon$ , позволяют определить также времена спуска  $\tau(\varepsilon, \varepsilon_0)$ , т. е. времена жизни горячего электрона от момента рождения в состоянии с энергией  $\varepsilon_0$  до момента рекомбинации из состояния с энергией  $\varepsilon < \varepsilon_0$ . Из зависимости  $\tau(\varepsilon, \varepsilon_0)$  от разности  $\varepsilon_0 - \varepsilon$  (рис. 5) определяется время энергетической релаксации  $\tau_p$ , а совместно с измеренным из поляризационных спектров значением  $\tau(\varepsilon)/\tau_p$  — и время импульсной релаксации  $\tau_p$ .

В образцах с большой концентрацией акцепторов основным механизмом энергетической релаксации являются столкновения электронов с нейтральными акцепторами, сопровождающиеся их возбуждением или ионизацией. По деполяризации ГФЛ были измерены времена ухода из точки рождения  $\varepsilon_0$  для ряда образцов GaAs, легированных цинком с концентрацией акцепторов  $N_A$  от  $10^{17}$  до  $1.4 \cdot 10^{18} \text{ см}^{-3}$  [5]. Результаты измерений для  $\varepsilon_0 = 0.38$  эВ аппроксимируются зависимостью вида

$$\frac{1}{\tau_0} = \frac{1}{\tau'} + CN_A, \quad (12)$$

где  $\tau' = 70$  фс. Величина  $C$  ( $0.9 \cdot 10^{-5} \text{ см}^3/\text{с}$ ) определяет суммарное сечение этих процессов и удовлетворительно согласуется с теоретической оценкой. Время  $\tau'$  в (12) обусловлено энергетической релаксацией за счет испускания фононов.

В умеренно легированных кристаллах, как уже отмечалось, основным механизмом энергетической релаксации становится испускание предольных

<sup>4</sup> Примеры кривых магнитной деполяризации  $\rho_l(B)/\rho_l(0)$  приведены на рис. 6 для случая чисто фононного механизма релаксации.

спектры ГФЛ для этого случая приведены на рис. 2 (GaAs) и 6 (InP).

Поляризационные измерения показали, что в ряду максимумов 0, 1, 2 на рис. 2 степень поляризации уменьшается. Это уменьшение связано с изотропией функции распределения электронов при испускании оптических фононов. Степень уменьшения соответствует расчету [2], основанному на взаимодействии электронов с LO-фононами. Так, при  $\varepsilon_0 = 380$  мэВ после испускания LO-фонона  $\rho_1$  уменьшается примерно в 1.5 раза, при  $\varepsilon_0 = 100$  мэВ — уже в 2.5 раза. При  $\varepsilon_0 \approx \hbar\omega_{LO}$ , как и следует ожидать, испускание LO-фонона полностью изотропизует распределение.

Кривые магнитной деполяризации для пиков, соответствующих рекомбинационному излучению электронов, испустивших один, два и более фононов, описываются формулами, более сложными, чем формула (11).<sup>5</sup> Экспериментальные данные и соответствующие расчетные кривые приведены на рис. 7.

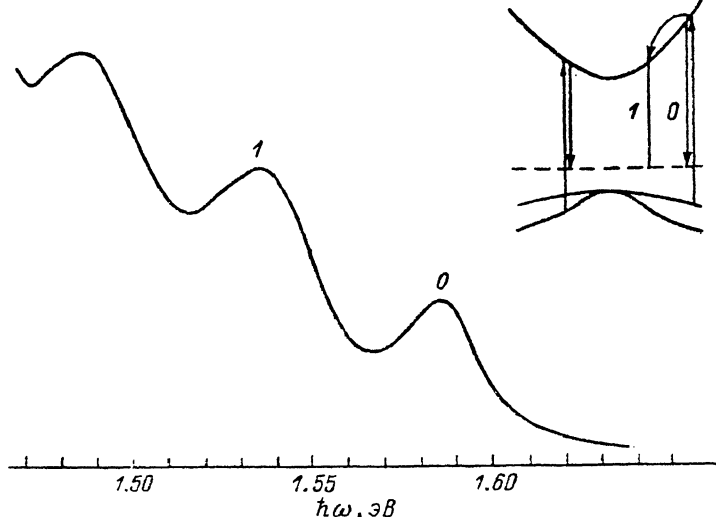


Рис. 6. Спектр горячей фотолюминесценции в кристалле  $p$ -InP.

$N_d = 3 \cdot 10^{17} \text{ см}^{-3}$ ,  $\hbar\omega_{ex} = 1.65 \text{ эВ}$ . Пик 0 соответствует рекомбинации электронов из точки рождения, пик 1 — после испускания LO-фонона ( $\hbar\omega_{LO} = 43 \text{ мэВ}$ ). По энергии пик 1 совпадает с бесфононным пиком для электронов, рожденных из зоны легких дырок. Схема переходов — в правом верхнем углу.

Из этих данных получены эффективные времена  $\tau_0$ ,  $\tau_1$ ,  $\tau_2$  ухода электронов из состояний с энергиями  $\varepsilon_0$ ,  $\varepsilon_0 - \hbar\omega_{LO}$ ,  $\varepsilon_0 - 2\hbar\omega_{LO}$  соответственно:  $\tau_0 = 70$ ,  $\tau_1 = 80$ ,  $\tau_2 = 100$  фс. Разница между  $\tau_0$  и  $\tau_2$  связана с дополнительным вкладом междолинных переходов в процесс энергетической релаксации при  $\varepsilon = 380$  мэВ. При такой энергии становятся возможными не только переходы внутри Г-минимума, но и междолинные Г—L-переходы с испусканием «междолинного» фонона (как уже отмечалось в разделе 1). В этом случае

$$\frac{1}{\tau_0} = \frac{1}{\tau_{PO}} + \frac{1}{\tau_{GL}}, \quad (13)$$

где  $\tau_{PO}^1$  — вероятность испускания длинноволнового LO-фонона, а  $\tau_{GL}^1$  — вероятность рассеяния в L-долине с испусканием коротковолнового фона.

На рис. 8 приведена полученная по магнитной деполяризации ГФЛ зависимость  $\tau_0$  от  $\varepsilon_0$ .<sup>6</sup>

При  $\varepsilon_0 < 0.3$  эВ  $\tau_0 = 110 \pm 10$  фс и соответствует времени испускания LO-фонона  $\tau_{PO}$ . Возрастание  $\tau_0^{-1}$  выше 0.3 эВ соответствует подключению междолин-

<sup>5</sup> В общем случае, согласно [5], после испускания  $n$  фононов  $\rho_n(B) = \rho_n(0) \times \times \operatorname{Re} \prod_{k=1}^n (1 + 2i\omega_c \tau_k)^{-1}$ .

<sup>6</sup> Идентичные значения были получены при измерениях как на образцах, вырезанных из монокристаллических слитков, так и на гетероструктурах GaAs—GaAlAs [13].

ных Г—L-переходов. При  $\epsilon_0 = 385$  мэВ для  $\tau_{\text{GL}}$  было получено значение 250 фс. Такое значение  $\tau_{\text{GL}}$  при массе плотности состояний L-долине 0.56  $m_0$  [9] и  $\Delta E_{\text{GL}} = -310$  мэВ соответствует константе междолинной связи  $D_{\text{GL}} = 8 \cdot 10^8$  эВ/см<sup>7</sup>. Этот результат был получен по деполяризации ГФЛ еще в 1980 г. [5]. Однако с учетом того обстоятельства, что величины  $D_{\text{GL}}$ , измеренные различными авторами и разными методами, характеризуются значительным разбросом,<sup>8</sup> значение  $D_{\text{GL}}$  было недавно определено нами независимым методом — из сопоставления спектров интенсивности ГФЛ при различных энергиях возбуждения [14]. Найденная таким образом величина  $7 \cdot 10^8$  эВ/см в пределах точности измерений совпадает с результатом, полученным в экспериментах по магнитной деполяризации ГФЛ [5]. Близкое значение  $D_{\text{GL}} (6.5 \pm 1.5) \cdot 10^8$  эВ/см было полу-

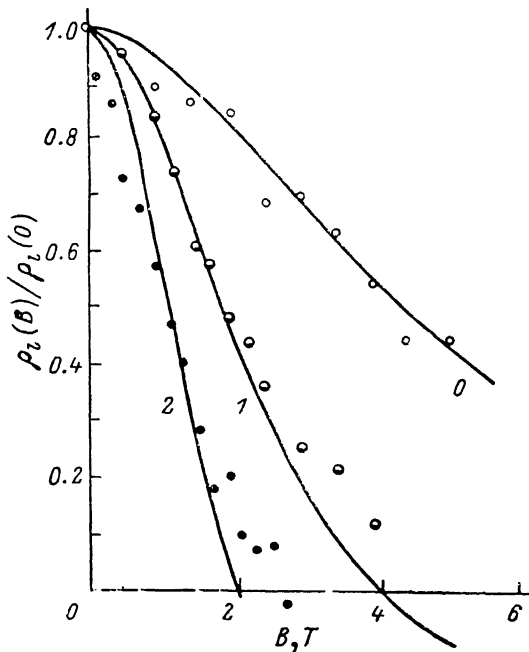


Рис. 7. Кривые магнитной деполяризации ГФЛ в GaAs в точках 0, 1, 2 спектра 1 рис. 2.

Сплошные кривые — расчет по формулам (16) из [5]. Возбуждение  $\hbar\omega_{\text{ex}} = 1.96$  эВ. Начальная энергия электронов, соответствующая кривой 0,  $\epsilon_0 = 385$  мэВ [5].  $\tau_0 = 0.7 \cdot 10^{-13}$ ,  $\tau_1 = 0.8 \cdot 10^{-13}$ ,  $\tau_2 = 1.1 \cdot 10^{-13}$  с.

значение  $D_{\text{GL}}$  было недавно определено нами независимым методом — из сопоставления спектров интенсивности ГФЛ при различных энергиях возбуждения [14]. Найденная таким образом величина  $7 \cdot 10^8$  эВ/см в пределах точности измерений совпадает с результатом, полученным в экспериментах по магнитной деполяризации ГФЛ [5]. Близкое значение  $D_{\text{GL}} (6.5 \pm 1.5) \cdot 10^8$  эВ/см было полу-

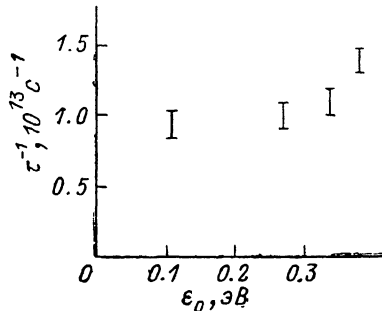


Рис. 8. Энергетическая зависимость вероятности рассеяния фотовозбужденных электронов в GaAs при фононном механизме рассеяния и гелиевых температурах [14].

ченено недавно методами пикосекундной люминесцентной спектроскопии (по кинетике возгорания краевой полосы, обусловленного обратными L—Г-переходами при накачке квантами 2.04 эВ) [16].

При еще большей энергии  $\epsilon_0$  в GaAs становятся возможными переходы не только в L-, но и в X-долины.

Уходное время для электронов с энергией  $\epsilon_0 = 570$  мэВ, измеренное по деполяризации ГФЛ, оказалось равным  $18 \pm 2$  фс [17]. Оно определяется как внутридолинными Г—Г-, так и Г—L-, Г—X-переходами. Для канала Г—Х при такой энергии электронов  $\tau_{\text{GX}} = 30$  фс, что при  $\Delta E_{\text{GX}} = 485$  мэВ (см. раздел 4) и  $m_X = 0.85 m_0$  [9] соответствует  $D_{\text{GX}} = 1.5 \cdot 10^9$  эВ/см.

На рис. 9 построена энергетическая зависимость времени рассеяния горячего электрона в GaAs, полученная с использованием приведенных выше параметров. Как уже отмечалось, до  $\epsilon_0 = 0.3$  эВ время  $\tau_0$  близко к 110 фс и слабо

<sup>7</sup> Константа междолинной связи (междолинный деформационный потенциал)  $D_{ik}$  связана с временем междолинного перехода из  $i$ -й долины в  $k$ -ю:  $\tau_{ik}^{-1} = B_{ik} \sqrt{\epsilon_k}$ , где  $\epsilon_k$  — энергия конечного состояния в  $k$ -й долине, отсчитанная от ее дна, при  $T = 0$   $B_{ik} = D_{ik} m_k^{3/2} / (\sqrt{2} \pi \hbar^3 \omega_{ik})$ ,  $\rho$  — плотность,  $\omega_{ik}$  — частота «междолинного» фонона,  $m_k$  — масса плотности состояний  $k$ -долины [15].

<sup>8</sup> От  $1.5 \cdot 10^8$  до  $10^9$  эВ/см. Такой разброс значений приводит к еще большему (в 40 раз) разбросу величины времени междолинного рассеяния, так как  $\tau_{\text{GL}}^{-1} \sim D_{\text{GL}}^2$ .

<sup>9</sup> Процессы возврата электронов из L-долин в центральный минимум создают в этом случае своего рода «бульбочное горло», лимитирующее время нарастания краевой полосы величиной порядка 2 пс ( $\tau_{LG}$ ), определяемой массой плотности в Г-минимуме и  $D_{LG} = D_{\text{GL}}$ .

зависит от энергии, а с дальнейшим повышением энергии быстро увеличивается за счет подключения Г—L- и особенно (выше 0.5 эВ) Г—X-переходов.

С учетом результатов раздела 4 набор определенных методами спектроскопии ГФЛ констант междолинной связи в GaAs выглядит следующим образом:  $D_{\Gamma L} = (8 \pm 2) \cdot 10^8$ ,  $D_{\Gamma X} = (1.5 \pm 0.3) \cdot 10^8$ ,  $D_{LL} = (5 \pm 1) \cdot 10^8$  эВ/см.

Аналогичные измерения времени полярного рассеяния были проведены в кристаллах фосфида индия [18]. Энергетическая зависимость  $\tau_{p0}$  ( $\epsilon$ ) в InP будет подробно обсуждаться в следующем разделе. Здесь же приведем значение времени  $\tau_{p0}$  для не слишком больших энергий электронов: для  $\epsilon_0 = 200$  мэВ  $\tau_{p0} = 70 \pm 10$  фс. Меньшее по сравнению с GaAs значение  $\tau_{p0}$  соответствует большим величинам фрелиховской константы электрон-фононного взаимодействия и частоты LO-фона  $\omega_{LO}$  в InP.

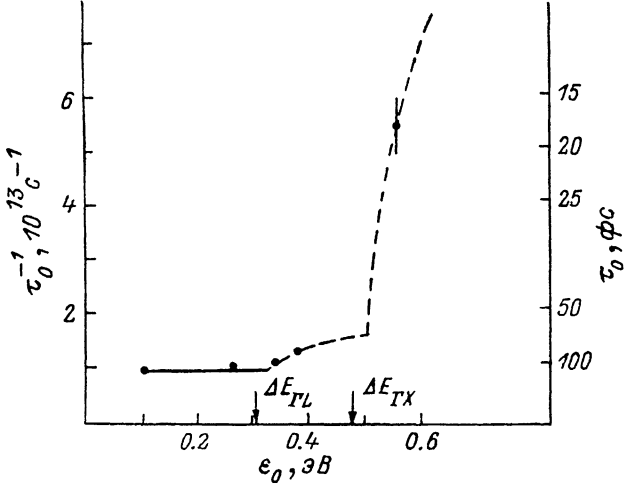


Рис. 9. Энергетическая зависимость вероятности рассеяния  $\tau_0^{-1}$  и времени жизни  $\tau_0$  в GaAs [17]. При расчете (штрихи) использованы значения констант междолинной связи  $D_{\Gamma L} = 8 \cdot 10^8$ ,  $D_{\Gamma X} = 1.5 \times 10^8$  эВ/см, массы плотности состояний в боковых долинах  $m_L = 0.56m_0$ ,  $m_X = 0.85m_0$  и значения энергетических зазоров  $\Delta E_{\Gamma L} = 310$ ,  $\Delta E_{\Gamma X} = 485$  мэВ,  $T = 0$ ; точки — экспериментальные значения при 2 К.

Остановимся также на вопросе влияния времени жизни электрона в точке рождения на ширину первого бесфононного пика ГФЛ. Измеренные времена жизни в точке рождения при большой энергии электронов оказываются чрезвычайно малыми. Такие значения  $\tau_0$ , как предполагается в работе [19], посвященной исследованию спектров интенсивности ГФЛ в p-GaAs, должны были бы привести к сильному однородному уширению высокочастотного пика. Однако теоретический анализ [20] показывает, что обратное время жизни в точке рождения входит в ширину бесфононного пика с малым параметром  $m_e/m_h$  ( $m_e$  и  $m_h$  — эффективные массы электрона и тяжелой дырки) и практически не проявляется на фоне уширения, обусловленного гофрировкой валентной зоны (см. раздел 4) и разбросом уровней акцептора из-за межпримесного взаимодействия.<sup>10</sup>

#### 4. Исследования зонной структуры

Методы спектроскопии ГФЛ были с успехом использованы в последнее время для исследования зонной структуры ряда полупроводников вдали от центра зоны Бриллюэна.

А. Как мы видели (рис. 3), боковые долины зоны проводимости четко проявляются в спектрах ГФЛ в виде соответствующих порогов.

<sup>10</sup> Сходная ситуация имеет место в случае резонансного комбинационного рассеяния, где время жизни носителей заряда по отношению к испусканию оптического фона не влияет на ширину линий [21].

Определенное по этим порогам положение нижайшей боковой долины в GaAs относительно дна зоны проводимости  $\Delta E_{\Gamma L} = 310 \pm 10$  мэВ [6, 7] хорошо согласуется с величинами, полученными ранее другими методами. Точности определения  $\Delta E_{\Gamma L}$  в GaAs благоприятствует близость энергий междолинных  $LO$ - и  $LA$ -фононов ( $\hbar\omega_{LO} = 30$  мэВ,  $\hbar\omega_{LA} = 26$  мэВ).

Исследования спектров ГФЛ в условиях одноосной деформации [10, 22] позволили однозначно установить симметрию этих долин,<sup>11</sup> надежно определить деформационные потенциалы, а также вероятности рассеяния между эквивалентными минимумами. Остановимся подробнее на результатах этих экспериментов.

На рис. 10 приведены восстановленные из спектров ГФЛ функции  $n(\epsilon)$ . Из анализа этих зависимостей могут быть сделаны следующие выводы.

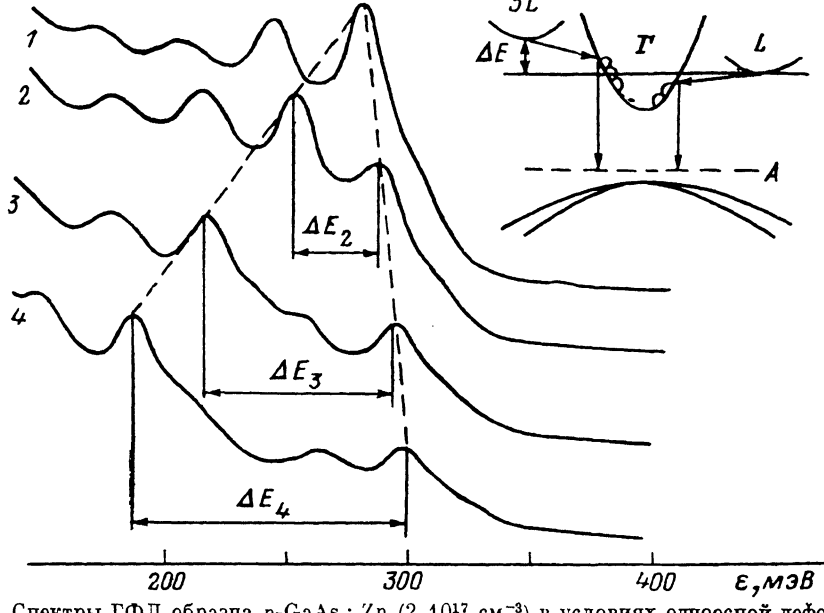


Рис. 10. Спектры ГФЛ образца  $p$ -GaAs: Zn ( $2 \cdot 10^{17}$  см $^{-3}$ ) в условиях одноосной деформации, приложенной по [111] [10, 22].

$P$ , кбар: 1 — 0, 2 — 3.7, 3 — 7.5, 4 — 10.7.  $\hbar\omega_{ex} = 2.54$  эВ,  $T = 2$  К. Спектры приведены в зависимости от энергии рекомбинирующих электронов. Деформационное расщепление бесфононного пика показано штриховыми линиями, также показаны величины деформационных расщеплений  $\Delta E$ .

а) Нагрузка, приложенная по [111], приводит к снятию вырождения штаковых боковых долин, что подтверждает их отнесение к  $L$ -точке зоны Бриллюэна. (Нагрузка, приложенная по [100], не вызывает расщепления спектров; рис. 11).

б) В спектрах на рис. 10 видны две серии максимумов, при этом из соотношения интенсивностей следует, что серия максимумов, соответствующая меньшим энергиям, обусловлена  $L$ — $\Gamma$ -переходами из долины, ориентированной вдоль направления сжатия. Серия максимумов с большими энергиями соответствует переходам из остальных трех вырожденных долин.

Из величины расщепления (рис. 11) в соответствии с соотношением  $\Delta E = (4/9) S_{44} E_u^L P$  получено значение сдвигового деформационного потенциала  $L$ -долин  $E_u^L = 14.5 \pm 1.5$  эВ.

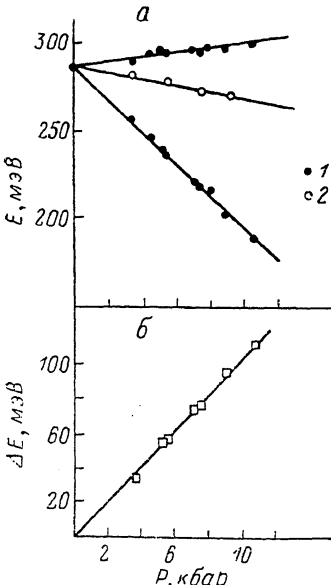
в) Из измерения соотношения интенсивностей в спектрах при деформации определяется константа связи между эквивалентными  $L$ -долинами  $D_{LL} = 5 \times 10^8$  эВ/см. Это значение было приведено в разделе 3.

Аналогичные измерения в области 350—500 мэВ позволили определить положение  $X$ -долин  $\Delta E_{\Gamma X} = 485$  мэВ и значение соответствующего деформацион-

<sup>11</sup> Хотя  $\Gamma$ — $L$ — $X$ -последовательность в энергетическом спектре GaAs является общепринятой со времени работы [9], этот вывод, однако, основан на анализе ряда экспериментов, каждый из которых допускает альтернативную трактовку. Результаты [10, 22] выгодно отличаются своей однозначностью.

ного потенциала  $E_u^x = 6.2$  эВ. Измеренные в этих экспериментах значения деформационных потенциалов боковых долин GaAs заметно отличаются от величин, полученных ранее более косвенными методами (например, по пьезоопротивлению), особенно в отношении X-долины. Отметим вместе с тем, что они очень близки к соответствующим потенциалам основных минимумов в Ge ( $E_u^x = 14$  эВ) и GaP ( $E_u^x = 6.2$  эВ), которые установлены с хорошей точностью.

Для кристаллов InP спектры ГФЛ с выраженной фононной структурой получаются для энергий возбуждения ниже 2 эВ. При больших  $\hbar\omega_{ex}$  фононные осцилляции в спектре «смазываются», поскольку из-за сильной гофрировки валентной зоны электроны рождаются в широком интервале энергий, сравнимом с  $\hbar\omega_{LO}$  (43 мэВ). На рис. 12, а приведена восстановленная из спектра ГФЛ при  $\hbar\omega_{ex} = 2.61$  эВ функция  $n(\epsilon)$ . Видно, что до  $\epsilon \approx 0.82$  эВ  $n(\epsilon) \approx \text{const}$ , после чего быстро убывает. Положение этого порога в спектре при  $\hbar\omega_{ex} > 2.54$  эВ не зависит от частоты. Как и в случае GaAs, этот порог связан с приходом электронов в долину из дна нижайшей боковой долины с испусканием междолинного фонона ( $q \sim \pi/a$ ). Тогда, учитывая правила отбора для Г—L-переходов [24], согласно которым разрешены переходы с участием фононов LO (43 мэВ в InP) и LA (21 мэВ) в L-точке, имеем  $\Delta E_{FL} = 860 \pm 20$  мэВ [23].



С полученным результатом согласуется и наблюдавшийся при  $\epsilon = 900$  мэВ быстрый рост вероятности рассеяния, обусловленный, по-видимому, подключением междолинных переходов (рис. 12, б). Определение симметрии нижних боковых долин было сделано, как и в случае GaAs, на основе пьесспектроскопических измерений. Деформация вдоль  $\{111\}$  приводила к заметному сдвигу порога (рис. 12, а), достигавшему 80 мэВ при  $P = 10$  кбар, и размытию его края. Расщепления, обусловленного снятием вырождения L-долин, не наблюдалось.

Рис. 11.

а) сдвиг максимумов в спектре (рис. 10) при одноосной деформации; 1 —  $p \parallel [111]$ , 2 —  $p \parallel [100]$  [ $^{[24]}$ ]; б) деформационное расщепление в спектре при  $p \parallel [111]$  [ $^{[24]}$ ].

По-видимому, в случае InP обе компоненты дублета сливаются, образуя затянувшийся край. Этому способствует и заметная разница энергий LA ( $L$ )- и LO ( $L$ )-фононов, участвующих в переходе.

Б. В ряде работ [25–27] исследовались спектры ГФЛ в непрямозонных полупроводниках. В [25] изучались спектр и поляризация ГФЛ в кристаллах  $\text{GaAs}_{1-x}\text{Al}_x\text{As}$  в диапазоне  $x = 0.4–0.56$ . На рис. 13 приведена функция  $n(\epsilon)$  для состава  $x = 0.56$ , которому соответствует величина прямого зазора (в точке Г) 2.22 эВ. Как и в случае прямозонных полупроводников, спектр ГФЛ формируется переходами горячих электронов из Г-долины на акцепторный уровень ( $\text{Zn}, 10^{17} \text{ см}^{-3}$ ). В функции  $n(\epsilon)$  (рис. 13) видны пики около  $\epsilon = 130$  и 80 мэВ, обусловленные последовательным подключением каналов возбуждения  $hh-c$  и  $lh-c$ . Эти пикки наложены на общую тенденцию к уменьшению  $n(\epsilon)$  в диапазоне 120–140 мэВ, связанную с тем, что релаксация электронов в Г-долине происходит в условиях сильного междолинного Г—X- и Г—L-рассеяния. Вышеупомянутая интерпретация пиков около 130 и 80 мэВ подтверждается ходом кривой циркулярной поляризации  $p_c$  (знаки  $p_c$  для этих каналов накачки должны быть противоположными, что и отражается в ходе кривой  $\beta$  на рис. 13).

Таким образом, немонотонный характер  $n(\epsilon)$  обусловлен последовательным подключением двух каналов накачки и утечкой электронов в боковые долины. При  $\epsilon < 40$  мэВ механизм внутридолинного рассеяния на оптических фононах выключается, а  $n(\epsilon)$  возрастает вдвое. Отсюда следует, что времена внутридолинного и междолинного рассеяния в рассмотренном случае близки.

Сходные результаты были получены при исследовании ГФЛ в непрямозонных составах  $\text{GaAs}_{1-x}\text{P}_x$  при  $x=0.6-0.68$  [26]. По магнитной деполяризации ГФЛ измерено время жизни электронов в точке рождения в Г-долине ( $\sim 10^{-13}$  с), которое примерно в равной мере определяется релаксацией в Г-минимуме и междолинным Г-X-рассеянием. В работе из положения особенностей в спектрах, подобных приведенным на рис. 13, для исследованных составов определены отношения масс  $m_{hh}/m_c=5$  и  $m_{lh}/m_c=1$ . При исследовании спектров ГФЛ в  $\text{AlSb}$  [27] определены энергии связи акцепторов и эффективные массы легких дырок

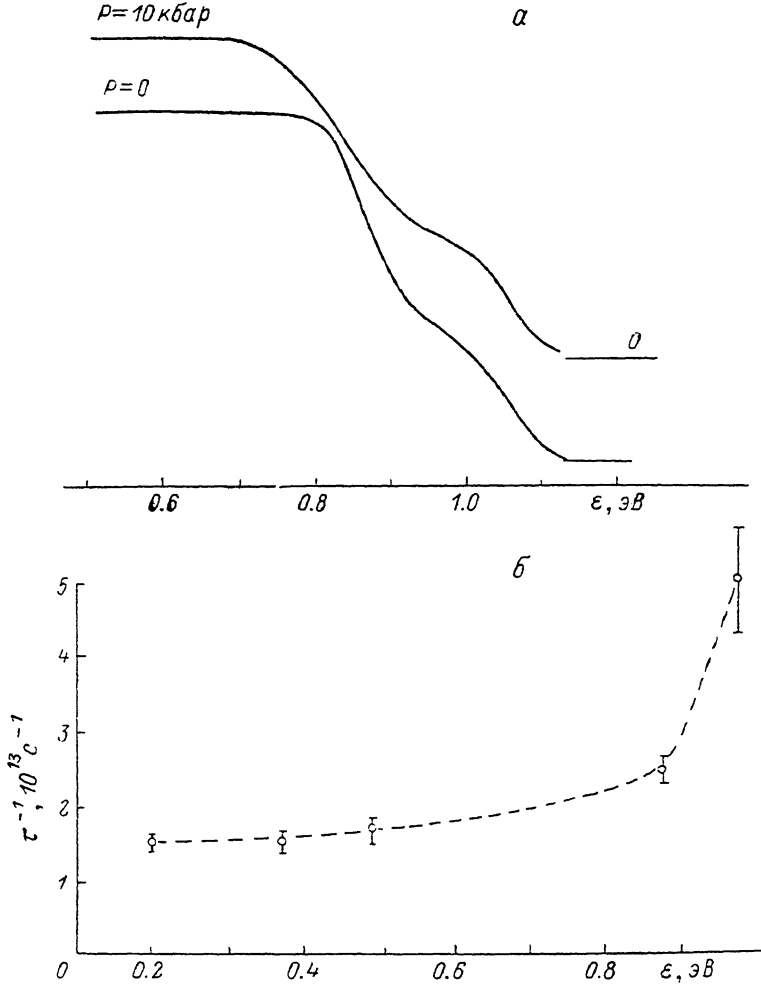


Рис. 12. Спектр ГФЛ в кристалле  $\text{InP} : \text{Zn}$  ( $3 \cdot 10^{17} \text{ см}^{-3}$ ) в области больших энергий [23] (а) – энергетическая зависимость скорости рассеяния  $\tau_0^{-1}(\varepsilon)$  в том же кристалле [23] (б).

и электронов в точке Г ( $m_{lh}=0.1 m_0$ ,  $m_c=0.14 m_0$ ). Как и в [25, 26], форма спектров ГФЛ в [27] в значительной мере определяется скоростью междолинных переходов и использована для определения последней.

В. Различие масс дырок по разным направлениям  $\mathbf{p}$  (гофрировка в валентной зоне) приводит к тому, что электроны рождаются при возбуждении квантом  $\hbar\omega_{\text{ex}}$  в некоторой энергетической полосе  $\delta E$ . Так, при возбуждении из подзоны тяжелых дырок в GaAs  $\delta E=0.07$  ( $\hbar\omega_{\text{ex}}-E_n$ ), т. е. при  $\hbar\omega_{\text{ex}}=2$  эВ  $\delta E$  близка к энергии оптического фона. Это приводит к уширению линии люминесценции, связанной с рекомбинацией электронов из точки рождения с дырками, локализованными на акцепторе. При типичном для алмазо-подобных полупроводников соотношении величин параметров Латтинжера  $(1/2)\gamma_1 > \gamma_3 > \gamma_2$  наиболее тяжелая масса в зоне тяжелых дырок связана с на-

правлением [111], наиболее легкая относится к направлению [100]. Поэтому высокочастотный край упомянутой линии люминесценции связан с рекомбинацией электронов, квазимпульс которых направлен вдоль осей [111], а низкочастотный — с рекомбинацией электронов с  $p \parallel [100]$ . Максимум линии практически совпадает по энергии с рекомбинационной люминесценцией электронов, импульс которых направлен вдоль осей [110]. Таким образом, основной вклад в люминесценцию вносят переходы, для которых направление квазимпульса лежит вдали от осей высокой симметрии {100} и {111}. Эти обстоятельства оказываются существенными при теоретическом анализе величины и зависимости линейной поляризации ГФЛ от энергии фотонов возбуждающего света.

Выше мы уже отмечали, что реальная (кубическая) симметрия кристалла

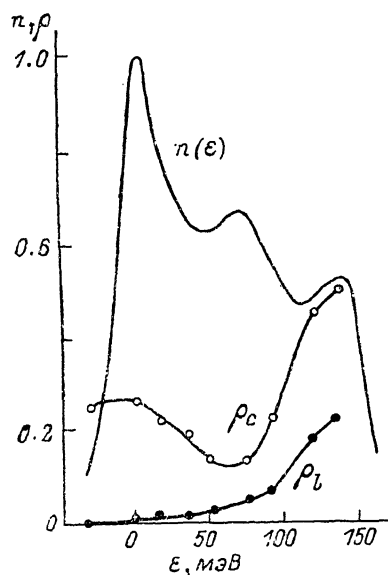


Рис. 13. Функция распределения  $n(\epsilon)$  горячих электронов в Г-долине непрямозонного полупроводника  $Ga_{0.44}Al_{0.56}As$   $\hbar\omega_{ex}=2.41$  эВ (1) и спектральные зависимости линейной и циркулярной поляризации [25].

приводит к анизотропии поляризационных характеристик ГФЛ, т. е. к зависимости степени поляризации от ориентации вектора электрического поля возбуждающего света и направления его распространения относительно кристаллографических осей. Такая анизотропия была предсказана в [28] и экспериментально обнаружена в [29]. Подробные исследования этого эффекта в широком диапазоне частот возбуждающего света были выполнены в [30] для GaAs и [31, 32] для InP. В работе [30] исключительно из симметрийных соображений был найден общий вид угловых зависимостей степени линейной поляризации. Оказалось, что эти зависимости содержат всего два параметра; в частности, при возбуждении вдоль оси [001]  $\rho_l$  задается выражением вида

$$\rho_l^{[001]} = a - b \cos 4\varphi, \quad (14)$$

где  $\varphi$  — угол между вектором электрического поля  $e_{ex}$  возбуждающего света и осью [100]. В случае возбуждения вдоль направления {111} угловая зависимость  $\rho_l$  отсутствует, а сама величина  $\rho_l$  равна

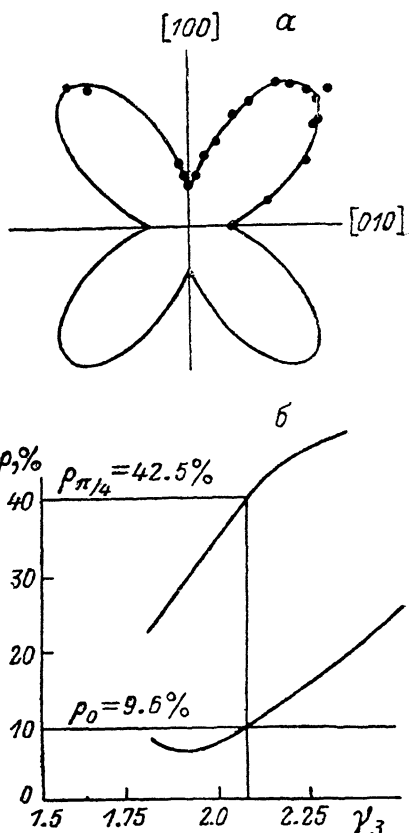


Рис. 14. Анизотропия линейной поляризации в InP при  $\hbar\omega_{ex}=1.96$  эВ [31, 32].

а) угловые зависимости  $\rho_l$ : точки — эксперимент, кривые — расчет по формуле (14); б) расчетные зависимости  $\rho_{\pi/4}(\gamma_3)$  и  $\rho_0(\gamma_3)$  для  $\gamma_1=5.0$  и  $\gamma_2=1.6$ . Экспериментальные значения даны горизонтальными линиями.

$$\rho_t^{[111]} = \frac{3a+b}{3+2b}.$$

Экспериментальные угловые зависимости хорошо удовлетворяют феноменологическим соотношениям, полученным в [30].

В работе [30] было также показано, что наблюдавшийся на опыте рост анизотропии степени линейной поляризации [отношения  $\rho_t^{[001]}(\pi/4)/\rho_t^{[001]}(0)$ ] с увеличением  $\varepsilon_0$  обусловлен перестройкой волновых функций тяжелых дырок, возникающей вследствие относительного ослабления спин-орбитального взаимодействия при больших квазимпульсах. Такая перестройка оказывается возможной благодаря наличию гофрировки валентной зоны и определяется ее параметрами.

Количественное согласие расчетных спектральных зависимостей  $\rho_t$  с данными экспериментов в GaAs достигалось при использовании общепринятых значений параметров Латтинжера  $\gamma_1=6.98$ ,  $\gamma_2=2.25$ ,  $\gamma_3=2.88$ , известных из экспериментов по циклотронному резонансу и магнитооптических исследований (наборы значений  $\gamma$ , полученные этими методиками, практически совпадают [33]).

Адекватность теоретической модели, предложенной в [30], экспериментальным результатам в GaAs позволила решить обратную задачу: из анизотропии линейной поляризации определить степень гофрировки валентной зоны InP. В отношении параметров Латтинжера этого материала в литературе приводятся

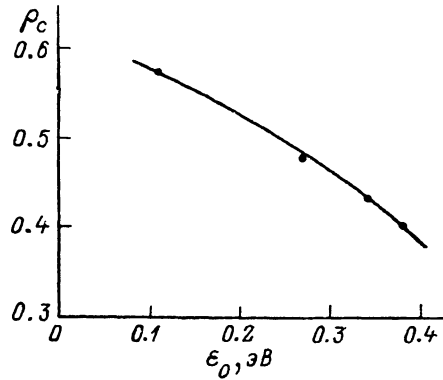


Рис. 15. Энергетическая зависимость степени циркулярной поляризации ГФЛ из точки рождения в кристалле GaAs ( $10^{17} \text{ см}^{-3}$ ) [37].

существенно различающиеся данные. Так, из данных по циклотронному резонансу [34] ( $\gamma_1=5.04$ ,  $\gamma_2=1.56$ ,  $\gamma_3=1.73$ ) следует практически изотропная валентная зона  $m_{hh}^{[111]}/m_{hh}^{[100]}=0.63/0.52 \approx 1.2$  ( $m_{hh}^{[111]}$  и  $m_{hh}^{[100]}$  — эффективные массы тяжелых дырок в направлениях [111] и [100]). В то же время результаты магнитооптических исследований [35] ( $\gamma_1=4.95$ ,  $\gamma_2=1.65$ ,  $\gamma_3=2.35$ ) предсказывают резко анизотропную подзону тяжелых дырок:  $m_{hh}^{[111]}/m_{hh}^{[100]}=4/0.61 \approx 6.6$ . Поскольку приведенные выше наборы параметров фактически различаются лишь величиной параметра  $\gamma_3$ , для определения последнего в работе [31] были рассчитаны зависимости  $\rho_t^{[001]}(\gamma_3)$  для  $\varphi=0$  ( $\rho_0$ ) и  $\varphi=\pi/4$  ( $\rho_{\pi/4}$ ; рис. 14, б). Сопоставление с экспериментальными результатами (на рисунке они показаны горизонтальными линиями) дало значение  $\gamma_3=2.12$ . Близкое значение  $\gamma_3=2.06$  было установлено независимым образом из сопоставления спектрального положения максимума бесфононного пика с его расчетными зависимостями от  $\gamma_3$  в широком диапазоне энергий кванта возбуждающего света ( $\hbar\omega_{ex}=1.59, 1.65, 1.83, 1.92, 1.96 \text{ эВ}$ ). С учетом погрешности определения параметров  $\gamma_1$  и  $\gamma_2$  в [34, 35] в работе [31] было получено значение  $\gamma_3=2.1 \pm 0.1$ . При таком значении параметра  $\gamma_3$  эффективные массы дырок  $m_{hh}^{[111]}$  и  $m_{hh}^{[100]}$  в InP различаются в 2 раза:  $m_{hh}^{[111]}/m_{hh}^{[100]}=1.25/0.56$ . Отметим также, что сходной методикой (из положения бесфононных пиков) штутгартская группа с хорошей точностью ( $\pm 1 \text{ мэВ}$ ) восстановила дисперсионные зависимости в валентной зоне GaAs [36].

Г. Исследование циркулярной поляризации ГФЛ в GaAs *p*-типа (рис. 15) показало следующее.

а) Величина степени циркулярной поляризации  $\rho_c^0$  при циркулярно поляризованной накачке заметно превышает 0.25 — максимальное значение  $\rho$  для люминесценции термализованных (т. е. изотропизованных по импульсу) электронов.

б) С увеличением начальной энергии электронов  $\varepsilon_0$  степень циркулярной поляризации горячей люминесценции из точки рождения уменьшается [37].

Последнее обстоятельство было объяснено [37] спиновой деполяризацией электронов в эффективном магнитном поле  $H_{\text{эфф}}$ , существование которого обусловлено отсутствием центра инверсии в кристаллической решетке полупроводников типа GaAs [38]. Величина  $H_{\text{эфф}}$  пропорциональна кубу квазичимпульса электрона, так что спиновое расщепление  $\Delta\epsilon_c$  зоны проводимости в этом поле быстро возрастает с ростом энергии электрона. В частности, как было показано в [37], при энергии электрона  $\epsilon = 400$  мэВ  $\Delta\epsilon_c$  достигает 12 мэВ ( $H_{\text{эфф}} \sim 10^6$  Э).

Что же касается «аномально» большого значения  $\rho_c^0$ , то оно было интерпретировано как проявление корреляции между спином и импульсом фотовозбужденного электрона. Наличие такой корреляции при отсутствии спиновой

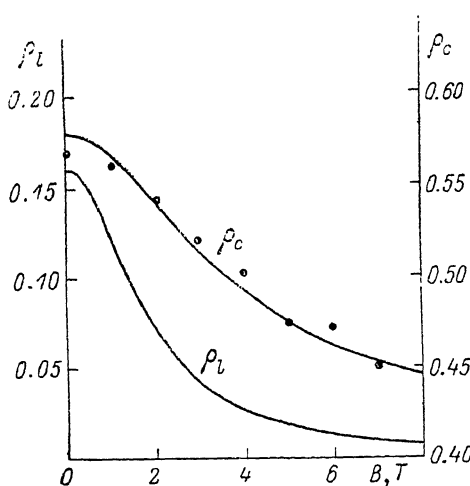


Рис. 16. Разрушение корреляции между спинами и импульсами фотовозбужденных электронов в продольном магнитном поле, приводящее к уменьшению  $\rho_c$  [ $\rho_c = A + C/(1 + \omega_c^2 \tau_0^2)$ ,  $A = 0.43$ ,  $C = 0.15$ ].

Изменение  $\rho_c$  (при линейно поляризованной накачке) описывается формулой  $\rho_c = \rho_c(0)/(1 + 4\omega_c^2 \tau_0^2)$  [39].

деполяризации должно приводить к  $\rho_c^0 = 0.7$  [2, 12]. Прямое доказательство справедливости такой интерпретации было дано в работе [39]. В продольном магнитном поле (по лучу) корреляция между спинами и импульсами разрушилась вследствие большой разницы частот прецессии спинов (лармировской) и импульсов (циклотронной). В GaAs лармировская частота намного меньше циклотронной, так что прецессией спинов за время  $\tau_0$  можно вовсе пренебречь. В эксперименте наблюдалось заметное уменьшение  $\rho_c^0$  с полем, согласующееся с предсказанный теоретически закономерностью вида  $\rho_c^0 = A + C/(1 + \omega_c^2 \tau_0^2)$  (рис. 16).

## 5. Акцепторные уровни в GaAs

Для исследования акцепторных состояний в ряде работ была использована зависимость поляризационных характеристик рекомбинационной фотолюминесценции от структуры волновых функций акцепторных уровней. Было показано, что в одновременно деформированных кристаллах GaAs при рекомбинации на уровень мелкого акцептора величина линейной поляризации, возникающая (в том числе и при неполяризованном возбуждении) за счет снятия вырождения уровней и равная 0.6 при  $p=0$ , уменьшается с увеличением энергии электронов [40].

Обнаруженный в этой работе эффект является прямым экспериментальным доказательством наличия в волновых функциях основного состояния акцептора (симметрия  $J=3/2$ ) помимо координатной  $s$ -функции также и примеси функций

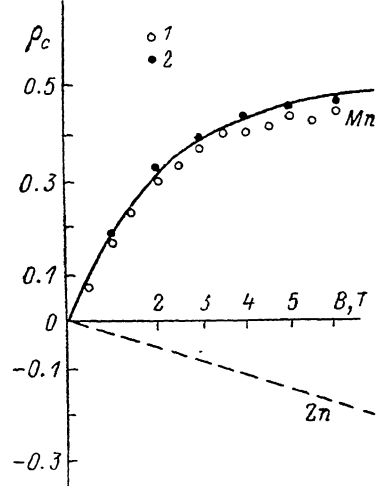


Рис. 17. Зависимость циркулярной поляризации ГФЛ при линейно поляризованной накачке от магнитного поля ( $\hbar\omega_{\text{ex}} = 1.96$  эВ). Вверху — GaAs : Mn ( $J = 5 \cdot 10^{17}$ ,  $2 - 5 \cdot 10^{18}$  см $^{-3}$ ); внизу — GaAs : Zn ( $1.2 \cdot 10^{18}$  см $^{-3}$ ) [41].

*d*-типа. Дело в том, что в такой ситуации, как показывает анализ правил отбора, излучательная рекомбинация с локализованными на акцепторах дырками возможна для свободных электронов, движущихся в *s*- и *d*-состояниях. При малых квазимпульсах рекомбинирующих носителей заряда, где перекрытие *d*-функций электронов и дырок мало, спектр фотолюминесценции формируется в основном переходами электронов из *s*-состояний свободного движения. По мере роста *p* относительный вклад в рекомбинационное излучение электронов с орбитальным моментом, равным 2 (*d*-электронов), увеличивается, что и приводит к падению степени линейной поляризации.

Поведение циркулярной поляризации ГФЛ во внешнем магнитном поле дает возможность исследовать намагничивание локализованных на акцепторных уровнях дырок без осложняющих эффектов, связанных с поляризацией электронов. Поскольку период прецессии электронных спинов даже в сравнительно сильных полях ( $\sim 8$  Т) во много раз превышает время жизни горячих электронов в точке рождения  $\tau_0$ , намагниченность таких электронов отсутствует. В результате возникающая во внешнем магнитном поле циркулярная поляризация ГФЛ оказывается связанный исключительно с поляризацией локализованных на акцепторе равновесных дырок, а зависимость степени поляризации ГФЛ от величины магнитного поля непосредственно отражает кривую намагниченности примесных центров.

Исследования намагничивания дырок в основном состоянии акцепторных центров Mn в GaAs [41] привели к неожиданному результату: знак циркулярной поляризации ГФЛ оказался обратным по сравнению со случаем, реализующимся при легировании Zn или Ge (рис. 17). Для объяснения этого результата была построена феноменологическая модель глубокого центра с незаполненной *3d*-оболочкой, основанная на предположении о сильном антиферромагнитном взаимодействии дырки с остовом  $A^- (3d^5)$ .

Выводы [41] нашли свое подтверждение при исследовании поляризации излучения, возникающего при рекомбинации в возбужденное состояние акцепторного уровня, связанного с Mn [42]. В случае возбужденного состояния обменное взаимодействие оказывается уже не столь сильным и разрушается в умеренных полях порядка 3 Т, что проявляется в смене знака циркулярной поляризации (он становится «обычным», как у немагнитных акцепторов). Недавно, результаты [41] подтверждены и исследованием ЭПР в GaAs [43].

## 6. Заключение

Начатые в середине 70-х годов в ФТИ им. А. Ф. Иоффе АН СССР исследования фотолюминесценции горячих электронов в полупроводниках привели к формированию нового направления в оптике полупроводников — спектроскопии горячей фотолюминесценции (ГФЛ). Важным моментом здесь явилось открытие выстраивания электронов по импульсам при межзонном поглощении света,<sup>12</sup> приводящее к линейной поляризации ГФЛ. Методы поляризационной магнитооптической спектроскопии ГФЛ оказались уникальными для определения времен сверхбыстрых процессов релаксации, исследования высоковозбужденных состояний электронов проводимости и т. д.

Представляется замечательным распространение методов спектроскопии ГФЛ на двумерные структуры, поскольку эти методы свободны от влияния ряда усложняющих факторов (например, разогрева фононов), приводящих к сильному разбросу результатов при измерении времен полярного рассеяния [45].

Первая попытка такого рода предпринята недавно в работе [46], где по магнитной деполяризации ГФЛ были измерены времена полярного рассеяния двумерных электронов в изолированной квантовой яме.

Широкие возможности спектроскопии горячей фотолюминесценции в последние годы начали использоваться в ряде лабораторий и групп США, Франции,

<sup>12</sup> Обнаруженное впервые в ходе исследования горячей фотолюминесценции явление оптического выстраивания электронов по импульсам проявляется также в различных фотоэффектах и в определенных условиях приводит к дихроизму и двупредомлению. Перечень ссылок на эти работы — в заключении к обзору [44].

ФРГ. Некоторые из этих работ мы обсуждали выше. Упомянем еще интересные работы французских исследователей по поляризации ГФЛ в сильно легированных кристаллах [47, 48].

Авторы признательны своим коллегам — сотрудникам ФТИ им. А. Ф. Иоффе АН СССР, совместно с которым были выполнены работы, вошедшие в настоящий обзор, Б. П. Захарчене за постоянную поддержку и внимание, В. И. Перелью за многочисленные полезные обсуждения затронутых в обзоре вопросов.

### Список литературы

- [1] Панков Ж. Оптические процессы в полупроводниках. М., 1973. 456 с.
- [2] Захарчене Б. П., Мирилин Д. Н., Перель В. И., Решина И. И. // УФН. 1982. Т. 136. В. 3. С. 459—499.
- [3] Mirlin D. N. // Optical Orientation / Ed. by F. Meier, B. Zakharchenya. Ch 4. Amsterdam, 1984. 552 p.
- [4] Lyon S. A. // J. Luminesc. 1986. V. 35. N 3. P. 121—154.
- [5] Дымников В. Д., Мирилин Д. Н., Никитин Л. П., Перель В. И., Решина И. И., Сапега В. Ф. // ЖЭТФ. 1981. Т. 80. В. 5. С. 1766—1778.
- [6] Мирилин Д. Н., Карлик И. Я., Никитин Л. П., Решина И. И., Сапега В. Ф. // Письма ЖЭТФ. 1980. Т. 32. В. 1. С. 34—37.
- [7] Mirlin D. N., Karlik I. Ya., Nikitin L. P., Reshina I. I., Sapega V. F. // Sol. St. Commun. 1981. V. 37. N 9. P. 757—760.
- [8] Imhof E. A., Bell M. I., Forman R. A. // Sol. St. Commun. 1985. V. 54. N 10. P. 845—848.
- [9] Aspnes D. E. // Phys. Rev. B. 1976. V. 14. N 12. P. 5331—5343.
- [10] Mirlin D. N., Sapega V. F., Karlik I. Ya., Katilius R. // Sol. St. Commun. 1987. V. 61. N 12. P. 799—802.
- [11] Дымников В. Д., Перель В. И., Полупанов А. Ф. // ФТП. 1982. Т. 16. В. 2. С. 235—239.
- [12] Дымников В. Д., Дьяконов М. И., Перель В. И. // ЖЭТФ. 1976. Т. 71. В. 6. С. 2373—2380.
- [13] Карлик И. Я., Мирилин Д. Н., Мокан И. И., Никитин Л. П., Сапега В. Ф., Явич Б. С. // ФТТ. 1983. Т. 25. В. 1. С. 104—109.
- [14] Карлик И. Я., Мирилин Д. Н., Сапега В. Ф. // ФТП. 1987. Т. 21. В. 6. С. 1030—1033.
- [15] Коннэл Э. Кинетические свойства полупроводников в сильных электрических полях. М., 1970. 384 с.
- [16] Shah J., Deveaud B., Damen T. C., Tsang W. T., Gossard A. C., Lugli P. // Phys. Rev. Lett. 1987. V. 59. N 19. P. 2222—2225.
- [17] Mirlin D. N., Karlik I. Ya., Sapega V. F. // Sol. St. Commun. 1988. V. 65. N 3. P. 171.
- [18] Карлик И. Я., Мирилин Д. Н., Сапега В. Ф. // ФТТ. 1985. Т. 27. В. 7. С. 2210—2211.
- [19] Ulbrich R. G., Kash J. A., Tsang J. C. // Preprint, to be published in Phys. Rev. Lett. 1988.
- [20] Алексеев М. А., Меркулов И. А. // ФТП. 1986. Т. 20. В. 8. С. 1476—1480.
- [21] Ивченко Е. Л., Ланг И. Г., Павлов С. Т. // ФТТ. 1977. Т. 19. В. 9. С. 1751—1759.
- [22] Карлик И. Я., Катилис Р., Мирилин Д. Н., Сапега В. Ф. // Письма ЖЭТФ. 1986. Т. 43. В. 5. С. 250—252.
- [23] Alekseev M. A., Karlik I. Ya., Mirlin D. N., Sapega V. F., Sirenko A. A. // 19 Int. Conf. Phys. Semicond. Warsaw, 1988. Abstracts, We-F-111.3.
- [24] Birman J. L., Lax M., Loudon R. // Phys. Rev. 1966. V. 145. N 2. P. 620—628.
- [25] Карлик И. Я., Мирилин Д. Н., Сапега В. Ф., Яковлев Ю. П. // ФТТ. 1986. Т. 28. В. 6. С. 1869—1874.
- [26] Charfi F. F., Zouaghi M., Planell R., Benoit a la Guillaume C. // Phys. Rev. B. 1986. V. 33. N 8. P. 5623—5632.
- [27] Maaref M., Charfi F. F., Zouaghi M., Benoit a la Guillaume C., Joullie A. // Phys. Rev. B. 1986. V. 34. N 12. P. 8650—8655.
- [28] Дымников В. Д. // ФТП. 1977. Т. 11. В. 8. С. 1478—1484.
- [29] Мирилин Д. Н., Решина И. И. // ЖЭТФ. 1977. Т. 73. В. 3. С. 859—864.
- [30] Алексеев М. А., Карлик И. Я., Меркулов И. А., Мирилин Д. Н., Ребане Ю. Т., Сапега В. Ф. // ФТТ. 1985. Т. 27. В. 9. С. 2650—2657.
- [31] Алексеев М. А., Карлик И. Я., Мирилин Д. Н., Сапега В. Ф. // ФТП. 1988. Т. 22. В. 4. С. 569—574.
- [32] Alekseev M. A., Karlik I. Ya., Merkulov I. A., Mirlin D. N., Sapega V. F. // Phys. Lett. A. 1988. V. 127. N 6/7. P. 373—377.
- [33] Landolt-Börnstein. V. 17a. Semiconductors. Berlin, 1982. P. 469.
- [34] Leotin J., Barbaste K., Askenasy S., Stradling R. A. // Sol. St. Commun. 1974. V. 15. N 4. P. 693—696.
- [35] Bimberg D., Hess K., Lipari N., Altarelli M. // Physica B. 1977. V. 89. N 1. P. 139—146.
- [36] Fasol G., Hughes H. P. // Phys. Rev. B. 1986. V. 33. P. 2953—2956.
- [37] Алексеев М. А., Карлик И. Я., Меркулов И. А., Мирилин Д. Н., Никитин Л. П., Сапега В. Ф. // ФТТ. 1984. Т. 26. В. 11. С. 3369—3372.
- [38] Дьяконов М. И., Перель В. И. // ФТТ. 1971. Т. 13. В. 12. С. 3581—3585.
- [39] Карлик И. Я., Мирилин Д. Н., Никитин Л. П., Поляков Д. Г., Сапега В. Ф. // Письма ЖЭТФ. 1982. Т. 36. В. 5. С. 155—157.
- [40] Захарчене Б. П., Мирилин Д. Н., Поляков Д. Г., Сапега В. Ф. // Письма ЖЭТФ. 1985. Т. 41. В. 7. С. 306—308.

- [41] Карлик И. Я., Меркулов И. А., Мирлин Д. Н., Никитин Л. П., Перель В. И., Сапега В. Ф. // ФТГ. 1982. Т. 24. В. 12. С. 3350—3357.
- [42] Petrou A., Smith M. C., Perry C. H., Worlock J. M., Warnock J., Aggarwal R. L. // Sol. St. Commun. 1985. V. 55. N 10. P. 865—868.
- [43] Schneider J., Kaufmann U., Wilkening W., Baeumler M., Kohl F. // Phys. Rev. Lett. 1987. V. 59. N 3. P. 240—243.
- [44] Мирлин Д. Н. // Оптическая ориентация / Под ред. Б. П. Захарченко. Л., 1989.
- [45] Shah J. // IEEE J. Quant. Electron. 1986. V. QE-22. N 9. P. 1728.
- [46] Zakharchenya B. P., Kop'ev P. S., Mirlin D. N., Polyakov D. G., Reshina I. I., Sapega V. F., Sirenko A. A. // Sol. St. Commun. 1989. V. 69. N 3. P. 203—206.
- [47] Twardowski A., Hermann C. // Phys. Rev. B. 1986. V. 32. N 12. P. 8253—8257.
- [48] Sernelius B. E. // Phys. Rev. B. 1986. V. 34. N 12. P. 8696—8702.

Физико-технический институт  
им. А. Ф. Иоффе АН СССР  
Ленинград

Получен 19.12.1988  
Принят к печати 24.01.1989